

FISICA NUCLEARE (3)

- Calcolo della Neutron drip line
- La misura e la sezione d'urto di Rutherford
- Struttura dei nuclei e modelli nucleari: modello a gas di Fermi

Neutron drip line

Fissato Z , crescita N porta a **isotopi instabili** (n in livelli sempre meno legati _ princ. esclusione)

Massimo # n che per dato $Z \Rightarrow$ **isotopi stabili**: **neutron drip line** \Rightarrow **nuclidi per i quali nulla energia S_n di separazione d'un n**

$$\begin{aligned} S_n &= -[M(A, Z) - M(A - 1, Z) - m_n]c^2 = \\ &= -[Zm_p + Nm_n - B(A, Z) - Zm_p - (N - 1)m_n + B(A - 1, Z) - m_n]c^2 = \\ &= B(A, Z) - B(A - 1, Z) \end{aligned}$$

sgocciolamento ...
d'un n

$B(A, Z) \sim$ funz. continua di A e $Z \Rightarrow$ sviluppo Taylor fino 1° termine

$B(A + \delta A, Z + \delta Z) \approx B(A, Z) + [\partial B / \partial A] \delta A + [\partial B / \partial Z] \delta Z + \dots$ ed essendo $\delta A = -1$, $\delta Z = 0$.

$$B(A + \delta A, Z + \delta Z) \approx B(A, Z) - [\partial B / \partial A]$$

da cui

$$S_n \approx B(A, Z) - B(A + \delta A, Z + \delta Z) \approx B(A, Z) - B(A - 1, Z) \approx \partial B / \partial A$$

Da **Weizsäcker**, trascurando accoppiamento e con $Z \simeq (Z-1)$

$$B(A, Z) = b_V A + b_S A^{2/3} + b_C \frac{Z^2}{A^{1/3}} + b_{sim} \frac{(A - 2Z)^2}{A}$$

Derivando $\partial/\partial A$:

$$\partial B/\partial A \simeq S_n = b_V + \frac{2}{3} b_S A^{-1/3} - \frac{1}{3} b_C Z^2 A^{-4/3} + b_{sim} \left[1 - \frac{4Z^2}{A^2} \right]$$

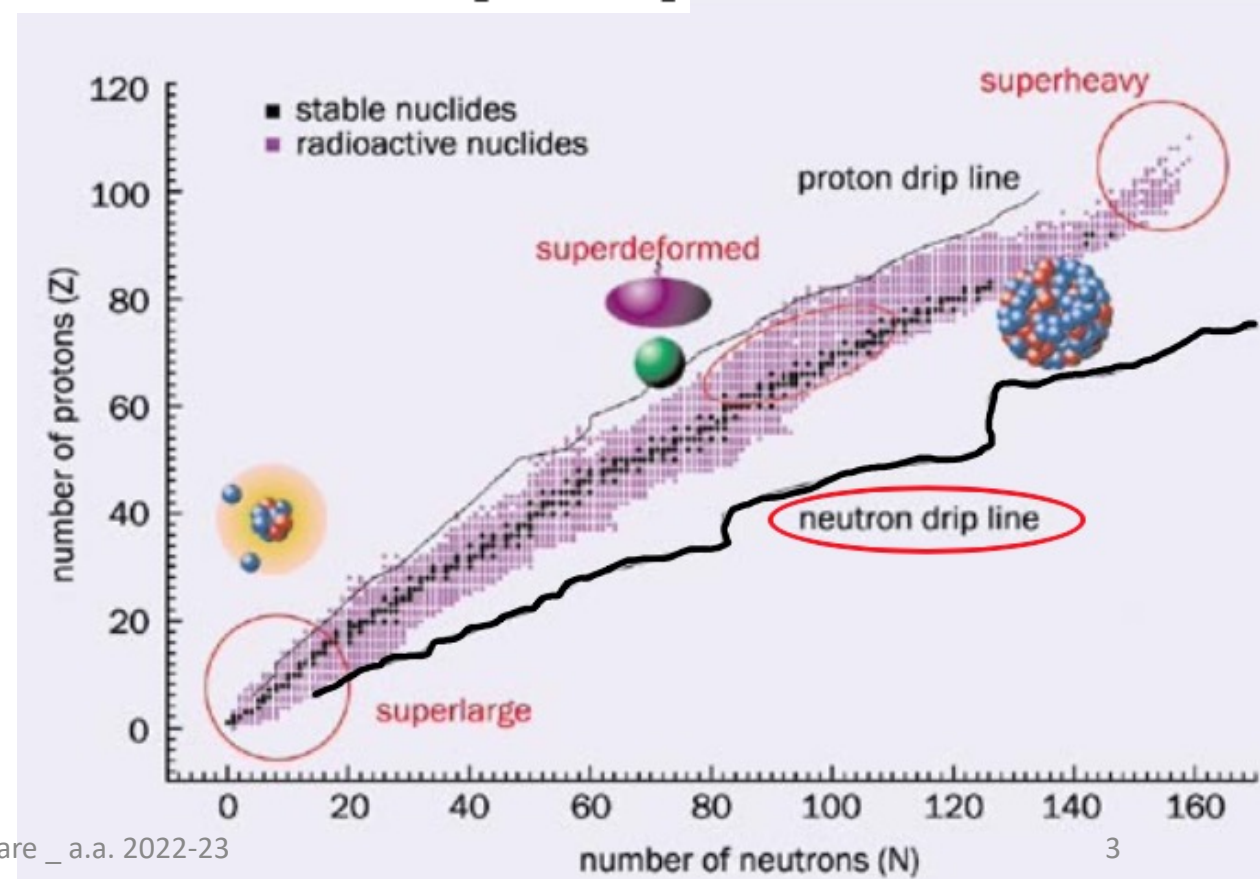
Condizione per “drip line”: $S_n = 0$

$$b_V + b_{sim} - \frac{2}{3} b_S A^{-1/3} = Z^2 \left(\frac{1}{3} b_C A^{-4/3} + \frac{4b_{sim}}{A^2} \right)$$

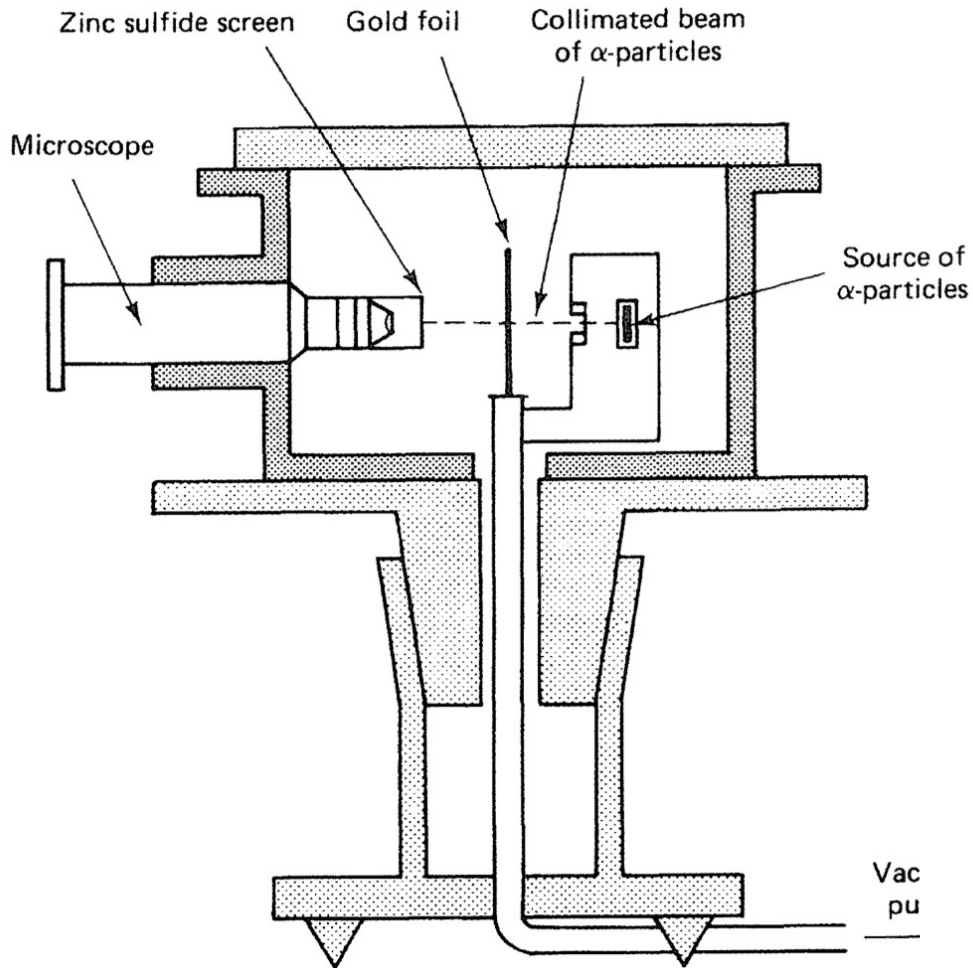
da cui

$$Z_{n_dline} = \sqrt{\frac{b_V + b_{sim} - \frac{2}{3} b_S A^{-1/3}}{\frac{b_C}{3} A^{-4/3} + 4 \frac{b_{sim}}{A^2}}}$$

Similmente si può dedurre anche una “proton drip line”

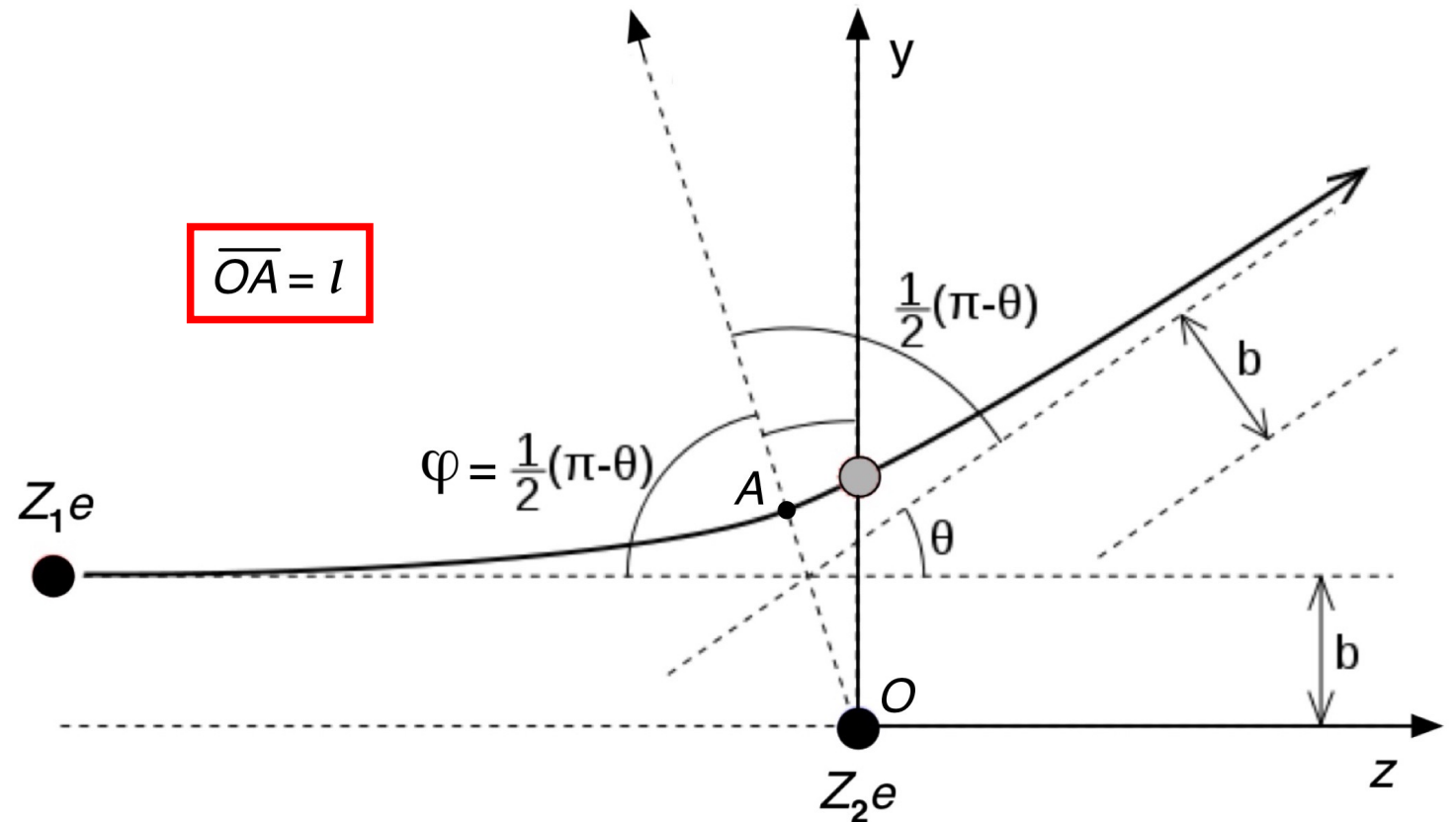


La misura di Rutherford, Geiger e Mardsen



$m \ll M \Rightarrow$ si trascura il rinculo di M

Fascio monocinetico particelle di massa e carica m e Z_1e , incidenti su nuclei di massa $M \gg m$ e carica Z_2e , a riposo in O (SL)



Pot. coulombiano bersaglio $V = Z_2 e / (4\pi\epsilon_0 r)$. Particella incide con velocità v su traiettoria // asse z e distante b da esso (b **parametro d'urto**)

- Classicamente determinare angolo $\vartheta(b)$; si procede trovando $b(\vartheta)$

V **pot. centrale-kepleriano**. En. totale: $E_T = E_k + E_P$. Traiettoria: **ellisse** $E_T < 0$, **iperbole** $E_T > 0$,
 $E_T \equiv E_k = mv^2/2 > 0 \Rightarrow$ **iperbole**

- **Conservazione mom. ang. ed energia** \Rightarrow all' ∞ questi valgono mvb ed $mv^2/2$; in A (**max. avvicinamento**) valgono $mv_A l$ e $[mv_A^2/2 + Z_1 Z_2 e^2 / (4\pi\epsilon_0 l)]$

$$\text{Quindi: } b = \frac{lv_A}{v}, \quad v^2 = v_A^2 + \frac{2Z_1 Z_2 e^2}{4\pi\epsilon_0 ml}$$

Si pone: $l_0 = \frac{2Z_1 Z_2 e^2}{4\pi\epsilon_0 mv^2} = \frac{Z_1 Z_2 e^2}{4\pi\epsilon_0 E_k}$ che fissata $E_k = mv^2/2$, coincide col punto A^* di max. avvicinamento

per un urto centrale ($b = 0$) $\Rightarrow v_{A^*} = 0$

$$\text{Quindi: } v^2 = v_A^2 + v^2 \frac{l_0}{l}$$

In urto centrale elastico particella carica $Z_1 e$ avvicina il nucleo lungo z fino a distanza minima l_0 , corrispondente ad A^* , poi inverte il moto diffusa ad angolo π . Da quanto ottenuto segue

$$v_A^2 = \frac{b^2}{l^2} v^2, \quad v_A^2 = v^2 \left(1 - \frac{l_0}{l}\right), \quad b^2 = l^2 \left(1 - \frac{l_0}{l}\right)$$

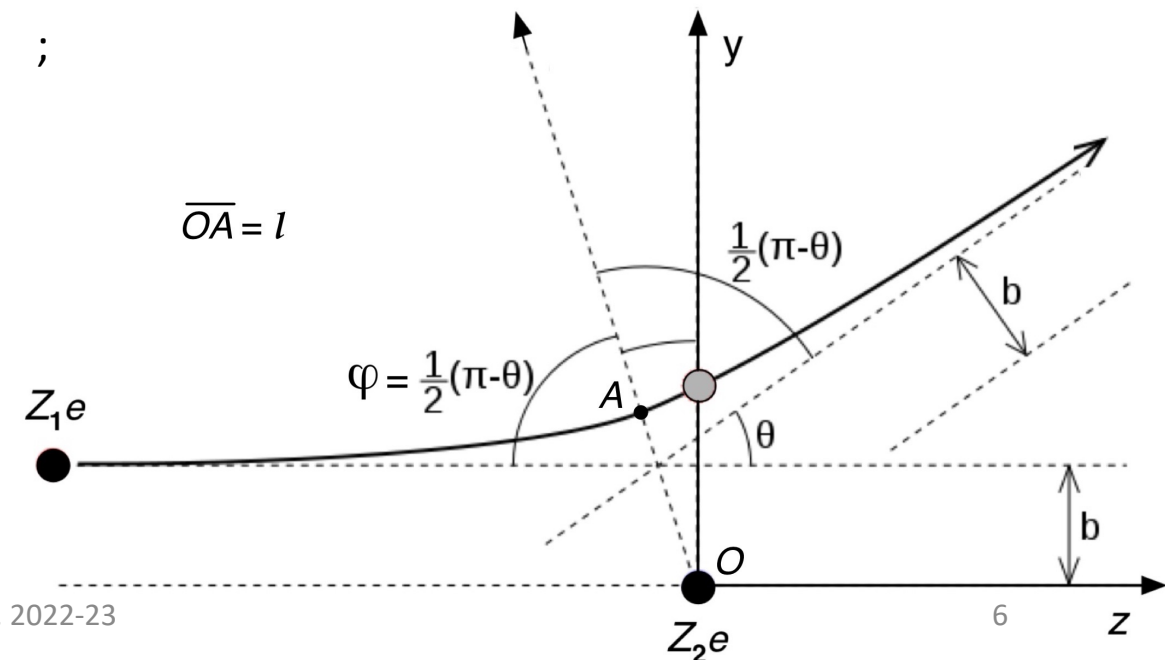
ma dalle proprietà dell'iperbole $l = b \cotg \frac{\varphi}{2}$

che sostituito nella terza $\cotg^2 \frac{\varphi}{2} - \frac{l_0}{b} \cotg \frac{\varphi}{2} - 1 = 0$ da cui $l_0 = 2 b \cotg \varphi$

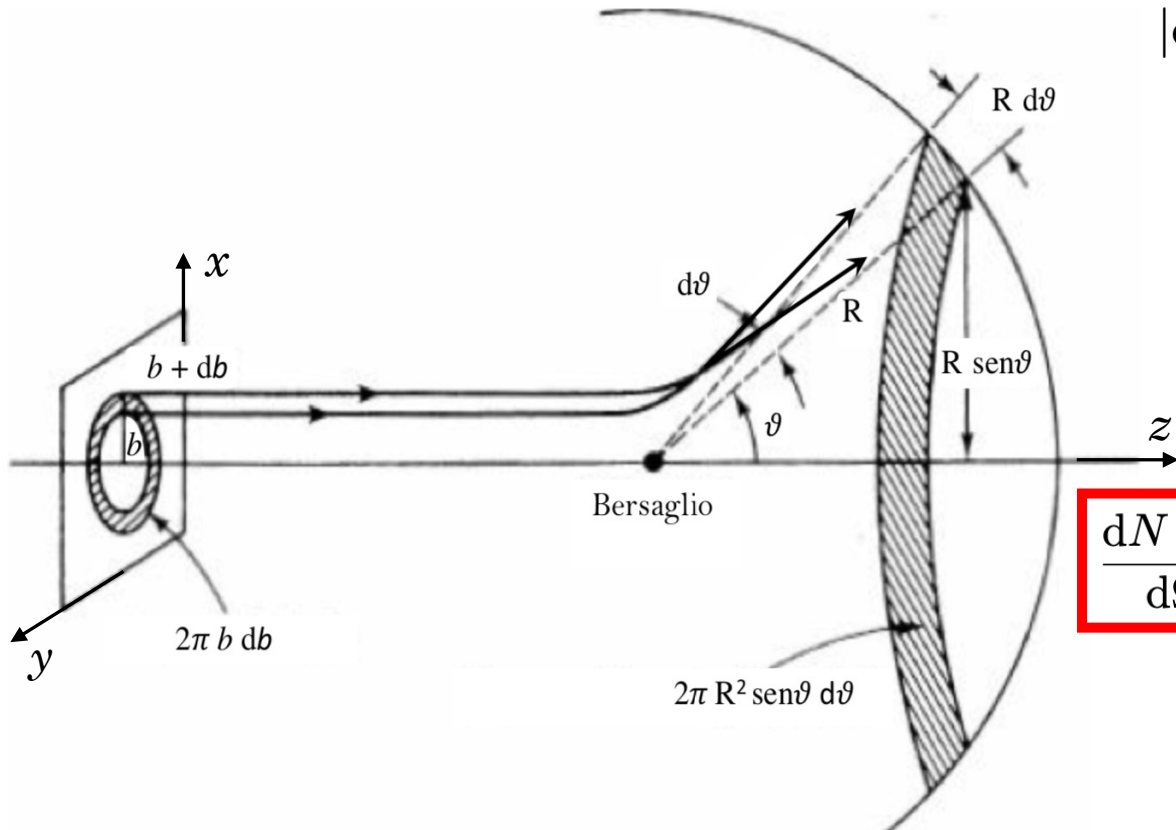
Dalla figura si ha $\vartheta + 2\varphi = \pi$, da cui: $\cotg \varphi = \tg \frac{\vartheta}{2}$;

e infine quanto cercato $b(\vartheta) = \frac{Z_1 Z_2 e^2}{8\pi\epsilon_0 E_k} \cotg \frac{\vartheta}{2}$

Rutherford voleva prevedere quante α diffondono a un certo angolo, sapendo quante incidono sul bersaglio



n_0 partic. attraversano, a dist. ∞ dal bersaglio, unità sup. del piano (x,y) nell'unità di tempo, \Rightarrow
 \Rightarrow $dN = 2\pi n_0 b db$ partic. attraversano anello circolare fra b e $b+db$. Se particelle si conservano, cerchiamo diffuse fra ϑ e $\vartheta+d\vartheta$



$$|db(\vartheta)| = \left| \frac{Z_1 Z_2 e^2}{8\pi\epsilon_0 E_k} d\left(\cotg\frac{\vartheta}{2}\right) \right| = \frac{Z_1 Z_2 e^2}{8\pi\epsilon_0 E_k} \frac{d\vartheta}{2 \sin^2\vartheta/2}$$

Sostituendo in dN :

$$dN(\vartheta) = 2\pi n_0 \left(\frac{Z_1 Z_2 e^2}{8\pi\epsilon_0 E_k} \right)^2 \frac{\cotg\vartheta/2}{2 \sin^2\vartheta/2} d\vartheta$$

da cui:

$$\frac{dN(\vartheta)/n_0}{d\Omega(\vartheta)} = \frac{d\sigma(\vartheta)}{d\Omega} = \left(\frac{Z_1 Z_2 e^2}{8\pi\epsilon_0 E_k} \right)^2 \frac{\cotg\vartheta/2}{2 \sin\vartheta \sin^2\vartheta/2} =$$

$$= \left(\frac{Z_1 Z_2 e^2}{8\pi\epsilon_0 E_k} \right)^2 \frac{\cos\vartheta/2}{2 \sin^3\vartheta/2 \cdot 2 \sin\vartheta/2 \cos\vartheta/2} =$$

$$= \left(\frac{Z_1 Z_2 e^2}{16\pi\epsilon_0 E_k} \right)^2 \frac{1}{\sin^4\vartheta/2}$$

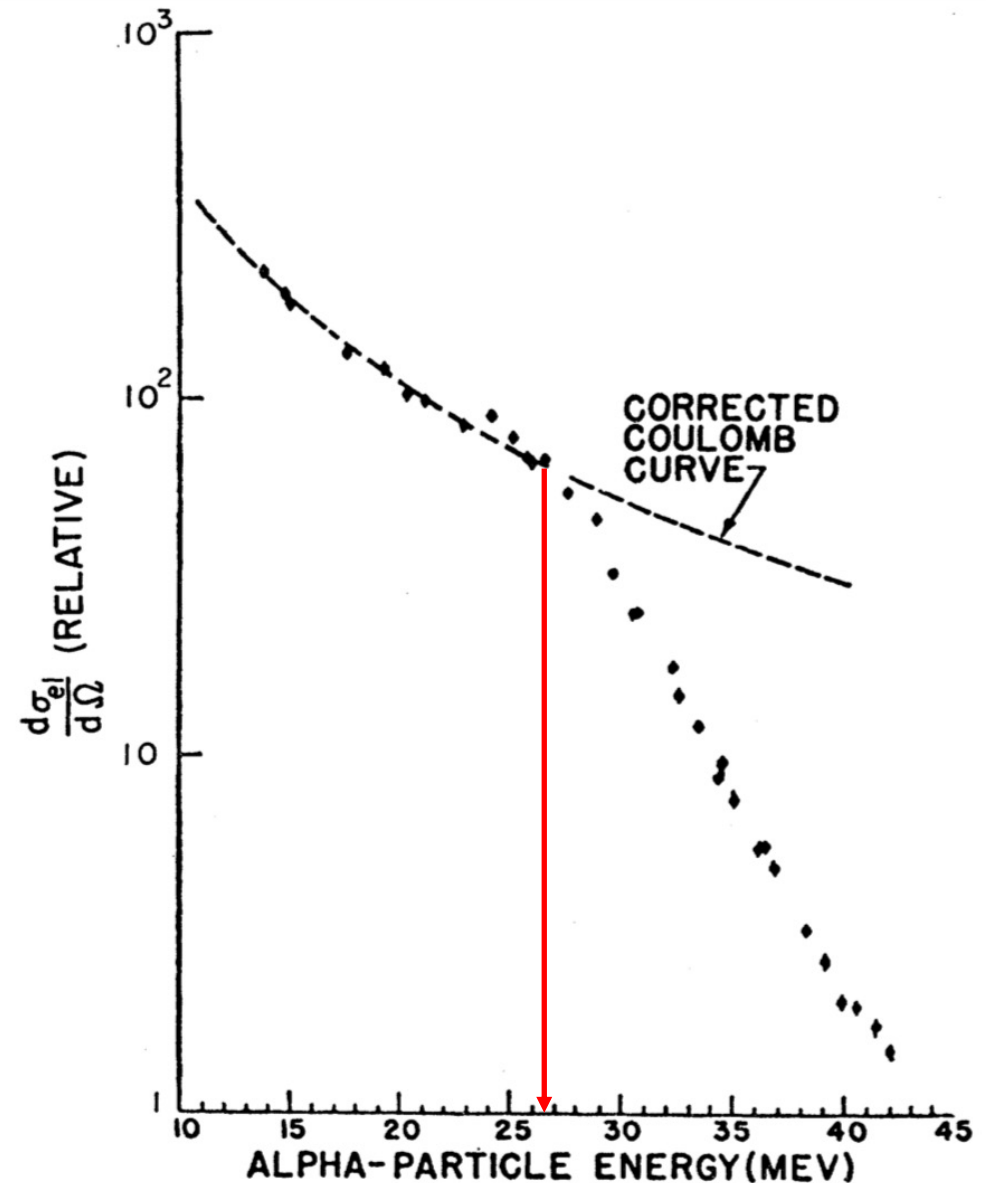
Sezione d'urto di Rutherford \rightarrow

Se carica uniform. distrib. in sfera di raggio r_0 ,
 al crescere di E_k tutto dovrebbe andare come
 Rutherford, finchè $b > r_0$

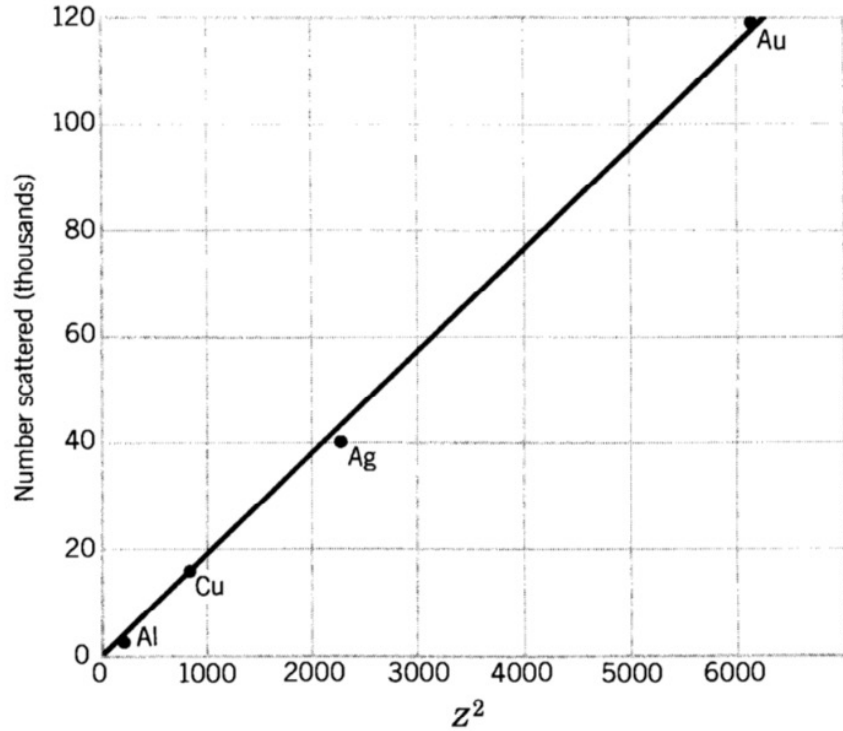
$$r_0 = \frac{Z_1 Z_2 e^2}{8\pi\epsilon_0 E_k} \cotg \frac{\vartheta_0}{2}$$

Ma crescendo $E_k \Rightarrow$ effetti da dimensioni del
 nucleo: sez. d'urto devia da quella puramente
 coulombiana

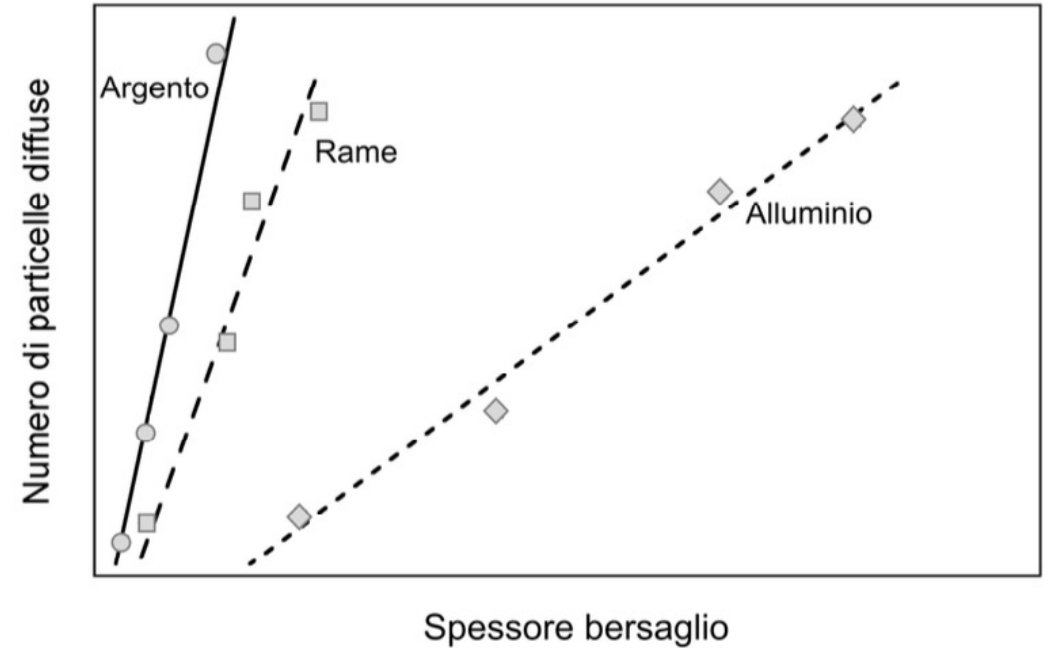
Crescendo E_k α si avvicinano al nucleo e sentono
 effetti dell'**interazione nucleare**, oltre a quelli
coulombiani



La sezione d'urto di Rutherford spiega risultati sperimentali!



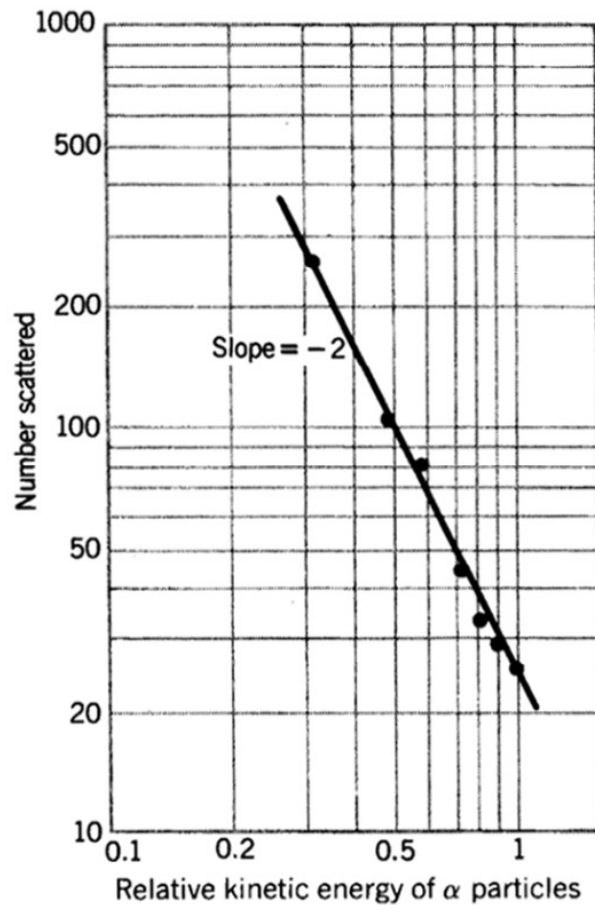
Dipendenza del rateo di diffusione dal quadrato del numero atomico Z_2 del bersaglio. Andamento conferma previsioni della formula di Rutherford



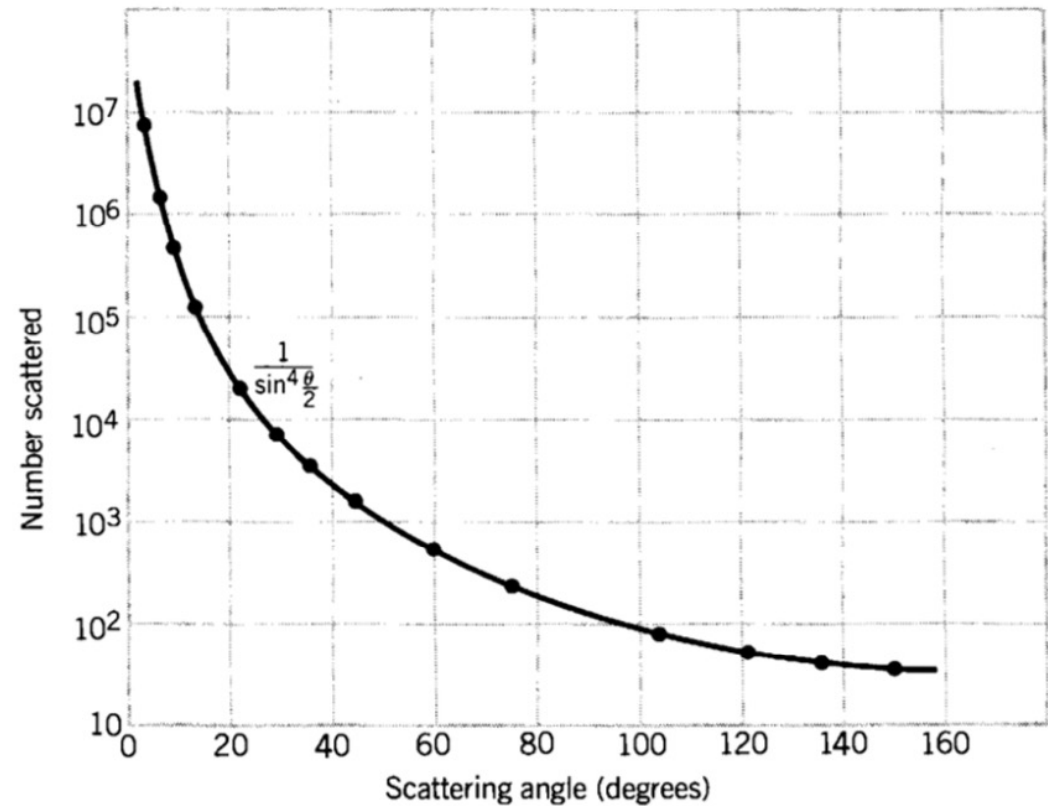
Dipendenza da spessore del bersaglio del rateo di diffusione. Andamento lineare suffraga ipotesi del modello atomico di Rutherford (no oscuramento significativo \Rightarrow nucleo molto più piccolo dell'atomo, prevalentemente singolo urto ...)

$$\frac{d\sigma(\vartheta)}{d\Omega} = \left(\frac{Z_1 Z_2 e^2}{16\pi\epsilon_0 E_k} \right)^2 \frac{1}{\text{sen}^4\vartheta/2}$$

La sezione d'urto di Rutherford spiega risultati sperimentali!



Dipendenza rateo diffusione dall'energia cinetica per particelle α incidenti su un bersaglio sottile. Andamento conferma previsioni della formula di Rutherford



Dipendenza da ϑ del rateo di diffusione per sottile bersaglio d'oro. Andamento conferma previsioni della formula di Rutherford

$$\frac{d\sigma(\vartheta)}{d\Omega} = \left(\frac{Z_1 Z_2 e^2}{16\pi\epsilon_0 E_k} \right)^2 \frac{1}{\sin^4 \vartheta / 2}$$

Modelli

Modello Standard dovrebbe descrivere anche struttura e fenomenologia dei nuclei, **ma** :

- limitati approcci matematico-computazionali per risolvere **QCD su sistemi a bassa energia**, come nuclei.
Transizione fase fra materia Q-G ad alta energia e adronica a più bassa energia, rende inutilizzabili approcci perturbativi
- forza nucleare a corto raggio, ma serve enorme potenza di calcolo per riprodurre accuratamente caratteristiche nucleo con approccio **ab initio**

Modelli storici relativamente grezzi e approssimati **ma spesso unico approccio per risultati quantitativi**

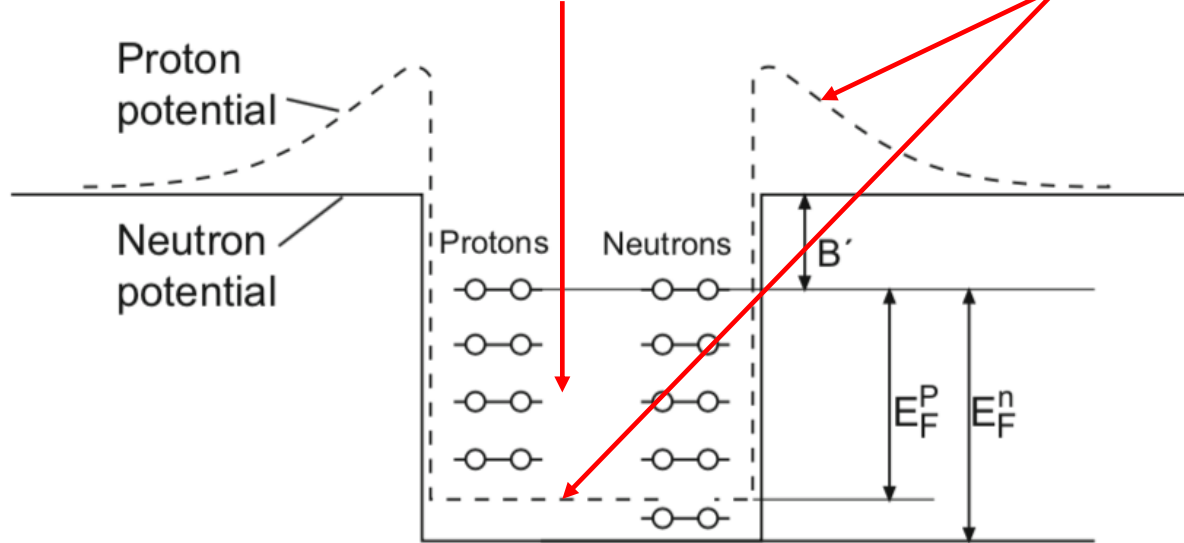
Modello a gas di Fermi

Nucleo in stato fondamentale o leggermente eccitato \Rightarrow **gas di Fermi degenere**

Nucleoni: due sistemi indipendenti di particelle a spin 1/2 che ubbidiscono **statistica Fermi-Dirac**, e per **principio d'esclusione** si muovono **\sim liberi** nel volume del nucleo con **impulso medio ~ 250 MeV/c**

Potenziale sentito da nucleone = sovrapp. potenziali dei restanti nucleoni del nucleo

Semplificando \Rightarrow **buca rettangolare** piú **contributo coulombiano** per i **p**



Stati di nucleone in vol. **V** e intervallo d'impulso **dp**

$$dn = \frac{4\pi p^2 dp}{(2\pi\hbar)^3} V$$

Volume cella spazio fasi con 2 nucleoni per tipo a spin $\uparrow\downarrow$

In stato fondamentale (temp. = 0), livelli piú bassi occupati fino a max. valore d'impulso p_F

Integrando: $n = \frac{V p_F^3}{6\pi^2 \hbar^3} = A \equiv (N+Z)$, con $N = \frac{V (p_F^n)^3}{3\pi^2 \hbar^3}$ e $Z = \frac{V (p_F^p)^3}{3\pi^2 \hbar^3}$

Nucleo sferico con **$Z = N = A/2$** , **$R_0 = 1.21$ fm**, e **ugual estensione radiale** per buche **p** e **n** :

$$p_F = p_F^n = p_F^p = \frac{\hbar}{R_0} \left(\frac{9\pi}{8} \right)^{1/3} \simeq 250 \text{ MeV}/c$$

, confermato da diffusione quasi elastica **e -nuclei** (si veda anche soglia produzione di π in urto $p+X$)

- Energia del livello occupato superiore: $E_F = p_F^2/2M \simeq 33 \text{ MeV}$

$B' = (\text{max. valore buca}) - (\text{livello Fermi})$, $\sim \text{cost. per gran parte dei nuclei}$ e $\simeq |B/A| = 7 \div 8 \text{ MeV}$

Profondità buca ed energia Fermi \sim indep. da A \Rightarrow al crescere di A livelli meno spazati e più densi

Es. ^{208}Pb : $B/A \simeq 7.67 \text{ MeV}$; **buca $n \simeq -44 \text{ MeV}$** ; **buca $p \simeq -34 \text{ MeV}$**

- Mod. gas Fermi prevede dipendenza $|B/A|$ da eccesso N

En. cinetica media per nucleone è

$$\langle E_k \rangle = \frac{\int_0^{p_F} E_k p^2 dp}{\int_0^{p_F} p^2 dp} = \frac{3}{5} \frac{p_F^2}{2M} \simeq 20 \text{ MeV}$$

- **Contrib. cinetico tot. energia del nucleo** $E_k(N, Z) = N\langle E_n \rangle + Z\langle E_p \rangle = \frac{3}{10M} \left[N (p_F^n)^2 + Z (p_F^p)^2 \right]$

- Con nucleo sferico e raggi n e p uguali $E_k(N, Z) = \frac{3}{10M} \frac{\hbar^2}{R_0^2} \left(\frac{9\pi}{4} \right)^{2/3} \frac{N^{5/3} + Z^{5/3}}{A^{5/3}}$

Minimo per $Z = N$ \Rightarrow **energia di legame si riduce per $N \neq Z$**

- ▶ Mod. gas Fermi \Rightarrow termini formula Weizsaker

Sviluppando in potenze di $(N - Z)$:

$$E_k(N, Z) = \frac{3}{10M} \frac{\hbar^2}{R_0^2} \left(\frac{9\pi}{8}\right)^{2/3} \left[A + \frac{5}{9} \frac{(N - Z)^2}{A} + \dots \right]$$

1o termine \sim termine di volume ; 2o termine \sim eccesso n

Modello evidenzia valori alti delle velocità dei nucleoni nei nuclei, confermato da risultati sperimentali:

- ▶ soglia produzione π per urto di $p + \text{nucleo}$ cala al crescere di A , poiché nucleoni del bersaglio possono avere velocità non trascurabili ($v/c \simeq 1/4$)

Modello a Gas di Fermi spiega quindi molti risultati sperimentali e ha permesso anche alcune predizioni ...